

**PP 068 "Reducción de la Vulnerabilidad y Atención de Emergencia por Desastres" Producto:
"Estudios para la estimación de los riesgos de desastres"**

Actividad: "Generación de información y monitoreo del Fenómeno El Niño"

Instituto Geofísico del Perú

**INFORME TÉCNICO N° PpR/EI Niño-IGP/2017-12
11/01/2018**

Advertencia: El presente informe sirve como insumo para la Comisión Multisectorial para el Estudio Nacional del Fenómeno El Niño (ENFEN). El pronunciamiento colegiado del ENFEN es la información oficial definitiva. La presente información podrá ser utilizada bajo su propia responsabilidad.

Resumen

Según el valor del Índice Costero El Niño (ICEN), basado en los datos de ERSST v3b para el mes de noviembre de 2017 la condición climática para la costa peruana fue de Fría Fuerte (-1.54), al igual que el valor del ICENOI (-1.62), calculado con datos de OISSTv2. Los valores temporales del ICEN (ICENtmp) y el ICENOI (ICENOItmp) para el mes de diciembre son Frías Fuertes y Frías Moderadas, respectivamente, y para el mes de enero 2018 coinciden en condiciones Frías Débiles. En lo que respecta al Pacífico Central, el valor del Índice Oceánico Niño (ONI) de la NOAA indica que noviembre tuvo una condición Fría Débil; los índices temporales estimados para diciembre y enero de 2018, también indican condiciones Frías Débiles.

Según el análisis de los modelos oceánicos utilizados y los datos observados, se espera que la temperatura superficial del mar (TSM) en el litoral peruano se presente con valores alrededor de lo normal a partir del mes de febrero del año 2018, sin embargo, las anomalías continuarían presentándose ligeramente negativas.

Para el pronóstico a largo plazo, los siete modelos numéricos de NMME, inicializados con condiciones del mes de enero de 2018, predicen, en promedio, a pesar de mostrar anomalías ligeramente negativas, condiciones del tipo Neutral en el Pacífico oriental hasta el mes de julio de 2018.

En la región del Pacífico central ecuatorial, el promedio de los modelos de NMME muestran condiciones frías débiles hasta el mes de abril de 2018.

Si bien lo anterior indica pocas probabilidades de que se pueda repetir un evento similar a El Niño costero de 2017, no se puede descartar un escenario de lluvias en el norte como el observado en el verano de 2008 durante La Niña en el Pacífico central. Este escenario es más probable ya que existe la presencia de una onda Kelvin cálida que probablemente llegue a la costa peruana a partir del mes de febrero.

Introducción

Empezando el año 2016, en el marco del programa presupuestal 068 "Reducción de la Vulnerabilidad y Atención de Emergencia por Desastres", algunas instituciones que conforman la Comisión Multisectorial para el Estudio del Fenómeno El Niño (ENFEN), bajo la coordinación del IMARPE, participan en el producto "Estudios para la estimación de los riesgos de desastres", en el cual el IGP contribuye con la actividad denominada "Generación de información y monitoreo del Fenómeno El Niño".

Niño". El presente informe técnico es generado en el marco de esta actividad, el cual es entregado al IMARPE, como coordinador de la actividad y presidencia del ENFEN, para ser utilizado como insumo en la evaluación periódica que realiza el ENFEN. El informe técnico generado posteriormente por el ENFEN será la información oficial sobre el monitoreo y pronóstico del Fenómeno El Niño y asociados en el Perú

Índice Costero El Niño

Utilizando los datos de Temperatura Superficial del Mar (TSM) promediados sobre la región Niño1+2; actualizados hasta el mes de diciembre de 2017 del producto ERSST v3b, generados por el *Climate Prediction Center (CPC)* de la *National Oceanic and Atmospheric Administration (NOAA, EEUU)*; se ha calculado el Índice Costero El Niño (ICEN; ENFEN 2012) hasta el mes de noviembre de 2017. Los valores se muestran en la Tabla 1. El valor de noviembre corresponde a una condición Fría Fuerte.

Año	Mes	ICEN (°C)	Condiciones
2017	Agosto	-0.75	Neutra
2017	Setiembre	-0.98	Neutra
2017	Octubre	-1.17	Fría Débil
2017	Noviembre	-1.54	Fría Fuerte

Tabla 1. Valores recientes del ICEN (ERSST v3b).
(Descarga: <http://www.met.igp.gob.pe/datos/icen.txt>)

Para los meses más recientes se generan versiones preliminares y temporales de este índice (ICENtmp) combinando ERSST con otras fuentes.

Año	Mes	ICENtmp	Condiciones	Fuente
2017	Diciembre	-1.43	Fría Fuerte	2017/11-12: ERSST; 2018/01: NMME
2018	Enero	-1.20	Fría Débil	2017/12: ERSST; 2018/01-02: NMME

Tabla 2. Estimados preliminares del ICEN (ICENtmp)

Según los valores del ICENtmp, se estima que en los meses de diciembre de 2017 y enero de 2018 las condiciones serían Fría Fuerte y Fría Débil, respectivamente. El ICEN de diciembre será confirmado cuando se disponga del valor de ERSST para el mes de enero de 2018.

Los valores del ICENOI, calculado de la misma forma que el ICEN pero usando los datos mensuales de OISST v2 y las climatologías de ERSST v3b (<http://www.met.igp.gob.pe/datos/climNino12.txt>), se muestran en la tabla 3.

Año	Mes	ICENOI (°C)	Condiciones
2017	Agosto	-0.84	Neutra
2017	Setiembre	-1.28	Fría Moderada
2017	Octubre	-1.44	Fría Fuerte
2017	Noviembre	-1.62	Fría Fuerte

Tabla 3. Valores recientes del ICENOI (OISST.v2).

Igualmente se generaron las versiones preliminares y temporales de este índice (ICENtmp), combinando los datos de OISSTv2 con otras fuentes.

Año	Mes	ICENOItmp	Condiciones	Fuente
2017	Diciembre	-1.37	Fría Moderada	2017/11-12: OISSTv2; 2018/01-02: NMME
2018	Enero	-1.16	Fría Débil	2017/12: OISSTv2; 2018/01-02: NMME

Tabla 4. Estimados preliminares del ICENOI (ICENOItmp)

Los valores del ICENOItmp estimados para diciembre y enero 2018 corresponden a condición Fría Moderada y Fría Débil, respectivamente. El ICENOI de diciembre será confirmado cuando se disponga del valor de OISST v2 para el mes de enero de 2018.

Por otro lado, para el Pacífico Central (Niño 3.4), el ONI (*Ocean Niño Index* en inglés; <http://www.cpc.ncep.noaa.gov/data/indices/oni.ascii.txt>), actualizado por la NOAA al mes de noviembre de 2017, es de -0.88°C , correspondiente a condición Fría Débil¹.

Año	Mes	ONI (°C)	Categoría
2017	Agosto	-0.15	Neutra
2017	Setiembre	-0.42	Neutra
2017	Octubre	-0.71	Fría Débil
2017	Noviembre	-0.88	Fría Débil

Tabla 5. Valores recientes del ONI.

(Descarga: <http://www.cpc.ncep.noaa.gov/data/indices/oni.ascii.txt>, se trabaja solo con los últimos datos en tiempo real, por lo que puede haber discrepancias para los meses anteriores)

¹ Los umbrales para establecer la categoría de condiciones cálidas o frías débiles, moderadas, fuertes, y muy fuertes usando el ONI son ± 0.50 , ± 1.00 , ± 1.50 , y ± 2.00 , respectivamente (Nota Técnica ENFEN, 02-2015).

Los valores estimados (ONItmp), combinando observaciones y pronósticos, indican condición Fría Débil tanto para el mes de diciembre como para enero de 2018 (Tabla 6).

Año	Mes	ONItmp	Condiciones	Fuente
2017	Diciembre	-0.92	Fría Débil	2017/11-12: ERSST; 2018/01: NMME
2018	Enero	-0.92	Fría Débil	2017/12: ERSST; 2018/01-02: NMME

Tabla 6. Estimados preliminares del ONI (ONItmp)

Diagnóstico del Pacífico Ecuatorial

Según los datos (IR, MW, OSTIA), en el Pacífico central las anomalías de la TSM diaria se presentaron en el rango de condiciones frías, manteniéndose en el orden de -0.8°C a -0.9°C (ver Figura 5a) y con una tendencia positiva. Para la región Niño 1+2, la anomalía de la TSM también indica valores negativos, con un promedio de -1.5°C , aunque, al igual que el Pacífico central, muestra una tendencia positiva para el mes de enero (Figura 5b).

En diciembre el esfuerzo de viento zonal mensual en el Pacífico central (160°E - 160°W ; 5°S - 5°N) continuó con anomalía del este (Figura 3), siendo de menor magnitud que el mes anterior; las máximas anomalías negativas se observaron en la primera semana del mes entre (165°E - 140°W), por otro lado, también se observaron anomalías positivas en la primera semana del mes entre (140°E - 150°E), y entre 140° y 120°W (Figura 10). La actividad convectiva en el Pacífico ecuatorial central-oriental, continuó inferior a su climatología (Figuras 1 y 2) y el patrón anómalo de convección ecuatorial siguió indicando un desplazamiento hacia el Pacífico occidental, consistente con condiciones atmosféricas tipo La Niña. La carga/descarga durante el mes de diciembre mostró, en promedio, un valor neutral., y la inclinación de la termoclina ecuatorial se presentó ligeramente inclinada (Figura 4).

Las corrientes zonales calculadas por GODAS en el Pacífico Ecuatorial, durante el mes de diciembre, continuaron mostrando anomalías negativas (corrientes hacia el oeste) en la parte superior del océano, principalmente entre 140°W y 90°W . Esto podría ser la consecuencia de la presencia de ondas Kelvin frías según los datos de la profundidad de la termoclina del producto ARGO+TAO y modelos lineales, originadas por pulsos de vientos del Este relativamente intensos, los cuales se localizaron al oeste de 150°W .

Aún se observa la presencia de ondas Kelvin frías al este de 160°W en el Pacífico ecuatorial. Al oeste de 160°W se observa la presencia de ondas Kelvin cálidas que se habrían formando por pulsos de viento del oeste en dicha región durante el mes de diciembre. A la fecha, la señal de la onda Kelvin en la termoclina (TAO+ARGO) se localiza en 160°W , mientras que dicha señal en el nivel del mar (DUACS) se localiza entre 140° a 120°W . Esta señal se sumaría a la señal de onda Kelvin cálida producida por la reflexión de ondas Rossby cálidas.

Pronóstico a corto plazo con modelo de ondas y observaciones

Según los pronósticos de los modelos GFS y CFS, como el mes anterior se espera que en las próximas semanas se produzcan anomalías de viento del este, entre 160°E y 160°W en la franja del Pacífico Ecuatorial. Si esto se diera, entonces estos vientos podrían proyectarse en ondas Kelvin frías que contribuiría en mantener (e incluso disminuir más) la anomalía negativa de la profundidad de la termoclina, principalmente en el Pacífico Oriental, en los siguientes meses.

La onda Kelvin cálida observada en la zona occidental del Pacífico, podría contribuir a aminorar las anomalías negativas de la profundidad de la termoclina en el Pacífico central y oriental, y de no existir vientos del este en su trayectoria, llegaría en el mes de febrero.

Pronóstico estacional con modelos climáticos

Según los 7 modelos climáticos de NMME (CFSv2, NASA_GEOS5, FLOR, CM2.1, NCAR_CCM4, CMC1 y CMC2), con condiciones iniciales de enero para el Pacífico Oriental (región Niño 1+2), indican en promedio condiciones neutras de febrero a julio de 2018, (Fig. 11 y Tabla 7), sin embargo estos índices son negativos. Para el mes de enero 2 de 7 modelos indican condiciones frías fuertes, 1 modelo indica condiciones frías moderadas, 3 modelos condiciones frías débiles y 1 modelo condición neutras.

Para el Pacífico central (región Niño 3.4), según los modelos de NMME, inicializados en enero, para el mes de febrero de 2018, 2 de 7 modelos indican condiciones frías moderadas, 5 modelos indican frías débiles. El pronóstico promedio de los modelos de NMME y el modelo BoM POAMA continúan indicando la presencia de La Niña de magnitud débil para el verano 2017/18 (Tabla 8 y Fig. 12). Considerando los modelos JMA MRI, UKMO, y ECMWF, inicializado en diciembre, también indican La Niña débil para el mismo periodo (Fig.12).

El patrón espacial proyectado de TSM y de precipitación pronosticado es típico de La Niña, con ausencia de calentamiento en el Pacífico sudeste (frente a norte de Chile) y en la costa de Perú como en el 2016. Asimismo, no se prevé mayor lluvia en la banda sur de la ZCIT en el verano/otoño de 2018 como en los pronósticos del 2016. Esto indica pocas probabilidades de que se pueda repetir un evento similar a El Niño costero de 2017, aunque no se puede descartar un escenario de lluvias en el norte como el sucedido en febrero del año 2008, fecha en la cual se desarrollaba un evento La Niña en el Pacífico Central.

Modelo	NDE	DEF	EFM	FMA	MAM	AMJ	MJJ	JJA
CFS2		-1.50	-1.34	-0.66	-0.37	-0.16	-0.05	-0.02
CMC1		-0.96	-0.42	-0.22	-0.13	0.05	0.35	0.60
CMC2		-1.04	-0.59	-0.52	-0.55	-0.43	-0.19	0.06
GFDL		-1.13	-0.63	-0.47	-0.33	-0.15	0.05	0.15
NASA		-1.21	-0.85	-0.69	-0.57	-0.43	-0.23	0.01
GFDL_FLOR		-1.09	-0.54	-0.28	0.11	0.45	0.76	0.79
NCAR_CCSM4		-1.65	-1.29	-0.91	-0.57	-0.39	-0.28	-0.31
NMME		-1.23	-0.81	-0.54	-0.34	-0.15	0.06	0.18
ICENtmp	-1.43							

Tabla 7. Pronósticos del ICEN con diferentes modelos climáticos con condiciones iniciales de enero de 2018

Modelo	NDE	DEF	EFM	FMA	MAM	AMJ	MJJ	JJA
CFS2		-0.78	-0.65	-0.63	-0.60	-0.55	-0.53	-0.54
CMC1		-0.78	-0.61	-0.39	-0.17	0.15	0.49	0.80
CMC2		-1.03	-1.03	-0.86	-0.54	-0.23	-0.05	0.10
GFDL		-0.85	-0.71	-0.52	-0.31	-0.05	0.22	0.42
NASA		-1.24	-1.44	-1.39	-1.20	-0.85	-0.44	0.00
GFDL_FLOR		-0.86	-0.66	-0.38	-0.11	0.11	0.36	0.60
NCAR_CCISM4		-0.84	-0.83	-0.83	-0.74	-0.53	-0.33	-0.19
NMME		-0.91	-0.85	-0.71	-0.52	-0.28	-0.04	0.17
ONItmp	-0.92							

Tabla 8. Pronósticos del ONI con diferentes modelos climáticos con condiciones iniciales de enero de 2018

Conclusiones:

1. El **ICEN para noviembre** de 2017 fue de **-1.54 (Fría Fuerte)** y el **ICENtmp** para diciembre de 2017 y enero 2018 es **-1.43 (Fría Moderada)** y **-1.20 (Fría débil)**. Usando OI mensual para el cálculo (**ICENOI**), los valores correspondientes son **-1.62 (Fría Fuerte)**, y los **temporales -1.37 (Fría Moderada)** y **-1.16 (Fría Débil)**.
2. En el Pacífico central, el ONI de noviembre (OND) correspondieron a condiciones Frías Débiles y el estimado para diciembre también sería de condiciones Fría Débil. La ATSM en la región Niño 3.4, fue, en promedio, -0.7.
3. En diciembre, según TAO, el viento zonal ecuatorial presentó pequeñas anomalías del este en el Pacífico central-occidental (al oeste de 140°W, aproximadamente). Por otro lado, entre 140° y 120°W se siguen observando anomalías débiles del oeste.
4. El patrón anómalo de convección ecuatorial sigue indicando desplazamiento hacia el Pacífico occidental, consistente con condiciones tipo La Niña.
5. La inclinación de la termoclina ecuatorial se presentó ligeramente inclinada. La carga/descarga durante el mes de diciembre mostró, en promedio, un valor neutral.
6. Durante el mes de diciembre; según los datos de ASCAT, NCEP y TAO; se observaron dos pulsos de viento del oeste al oeste de 160°W.
7. Si bien aún se observa ondas Kelvin frías al este de 160°W del Pacífico ecuatorial, los pulsos de viento del oeste observados en diciembre habrían contribuido en la formación de una onda Kelvin cálida cuya señal en la profundidad de la termoclina (TAO+ARGO) se observa en 160°W, mientras que en el nivel del mar (DUACS) se localizaría entre 140° a 120°W.
8. Las anomalías positivas de la profundidad de la termoclina en el extremo occidental –central se deberían, aparentemente, a la presencia de una Kelvin cálida producto de la reflexión de las ondas Rossby y forzadas por pulsos de viento del oeste.
9. Hay que indicar que el modelo de ondas, por el momento, está sobreestimando la anomalías negativas de la profundidad de la termoclina en el extremo oriental cuando es forzado con ASCAT y, en menor medida, con NCEP.

10. Para las próximas semanas, el modelo GFS y el CFS, como el mes anterior, predicen anomalías de viento del este, entre 160°E y 160°W, en la franja del Pacífico Ecuatorial. De darse este escenario, estos vientos podrían proyectarse en ondas Kelvin frías que contribuirían a mantener la anomalía negativa de la profundidad de la termoclina, principalmente, en el Pacífico Oriental, en los siguientes meses.
11. La onda Kelvin cálida que se observa en el Pacífico Occidental podría contribuir a disminuir las anomalías negativas en el Pacífico central y oriental y, de no existir vientos del este en su trayectoria, llegaría en el mes de febrero.
12. Los pronósticos de los modelos (NMME y otros) continúan indicando la probabilidad de condiciones La Niña en el Pacífico central ecuatorial. El patrón espacial proyectado de TSM y de precipitación pronosticado es típico de La Niña, con ausencia de calentamiento en el Pacífico sudeste (frente a norte de Chile) y en la costa de Perú como en el 2016. Asimismo, no se prevé mayor lluvia en la banda sur de la ZCIT en el verano/otoño de 2018 tal como se mostró en los pronósticos del año 2016 para este mes. Esto indica pocas probabilidades de que se pueda repetir un evento similar a El Niño costero del año 2017, aunque no se puede descartar un escenario de lluvias en el norte durante el evento La Niña 2008, más aún si se tiene la potencial llegada de una onda Kelvin a partir del mes de febrero.
13. Para el Pacífico Oriental (región Niño 1+2), los modelos de NMME en promedio indican condiciones Neutras de febrero a julio de 2018; sin embargo estos pronósticos continúan siendo negativos. Para febrero 2 de 7 modelos indica condición fría moderadas y 5 modelos condiciones neutra. Para los siguientes meses (marzo-junio) todos los modelos indican condiciones neutras.
14. Para el Pacífico central (Región Niño 3.4), para los meses de enero y febrero 2 de 7 modelos de NMME indican condiciones frías Modeladas, 5 modelos frías débiles. El promedio de los modelos de NMME y el modelo BoM POAMA indican La Niña de magnitud Débil para el verano (DEFM) 2017/18.

Bibliografía

- **Aparco J., K. Mosquera y K. Takahashi**, 2014: Flotadores Argo para el cálculo de la anomalía de la profundidad de la termoclina ecuatorial (Aplicación Operacional), Boletín Técnico "Generación de modelos climáticos para el pronóstico de la ocurrencia del Fenómeno El Niño", Instituto Geofísico del Perú, Mayo, 1, 5.
- Cravatte, S., W. S. Kessler, N. Smith, S. E. Wijffels, Ando, K., Cronin, M., Farrar, T., Guilyardi, E., Kumar, A., Lee, T., Roemmich, D., Serra, Y, Sprintall, J., Strutton, P., Sutton, A., **Takahashi, K.** y Wittenberg, A., 2016: First Report of TPOS 2020. GOOS-215, 200 pp. [<http://tpos2020.org/first-report>]
- DiNezio, P., 2016: Desafíos en la predicción de La Niña, Boletín Técnico "Generación de modelos climáticos para el pronóstico de la ocurrencia del Fenómeno El Niño", Instituto Geofísico del Perú, 3 (9), 4-8.
- **ENFEN 2012**: Definición operacional de los eventos "El Niño" y "La Niña" y sus magnitudes en la costa del Peru. *Nota Técnica ENFEN*.
- **ENFEN 2015**: Pronóstico probabilístico de la magnitud de El Niño costero en el verano 2015-2016. *Nota Técnica ENFEN 02-2015*.
- Huang, B., Thorne, P.W, Banzon, V. F., Boyer, T., Chepurin, G., Lawrimore, J. H., Menne, M. J., Smith, T. M., Vose, R. S., Zhang, H.-M., 2017: Extended Reconstructed Sea Surface Temperature version 5 (ERSSTv5): Upgrades, validations, and intercomparisons, *J. Climate*, doi: [10.1175/JCLI-D-16-0836.1](https://doi.org/10.1175/JCLI-D-16-0836.1)
- Kug, J.-S., Jin, F.-F., An, S.-I., 2009: Two types of El Niño events: Cold tongue El Niño and warm pool El Niño. *J. Climate* 22, 6, 1499–1515, doi:10.1175/2008JCLI2624.1.
- Lavado-Casimiro, W., **Espinoza, J. C.**, 2014: Impactos de El Niño y La Niña en las lluvias del Perú (1965-2007), *Revista Brasileira de Meteorologia*, 29 (2), 171-182.
- Meehl G, Hu A, Teng H, 2016: Initialized decadal prediction for transition to positive phase of the Interdecadal Pacific Oscillation. *Nature Communications*, doi: 10.1038/ncomms11718
- **Morera, S. B.**, Condom, T., Crave, A., Steer, P., and Guyot, J. L., 2017: The impact of extreme El Niño events on modern sediment transport along the western Peruvian Andes (1968-2012). *Scientific Reports*, v. 7, No. 1, p. 11947 DOI:10.1038/s41598-017-12220-x.
- **Mosquera, K.**, 2009: Variabilidad Intra-estacional de la Onda de Kelvin Ecuatorial en el Pacífico (2000-2007): Simulación Numérica y datos observados. Tesis para obtener el grado de Magíster en Física - Mención Geofísica en la Universidad Nacional Mayor de San Marcos.
- **Mosquera, K., B. Dewitte y P. Lagos**, 2010: Variabilidad Intra-estacional de la onda de Kelvin ecuatorial en el Pacífico (2000-2007): simulación numérica y datos observados. *Magistri et Doctores*, Revista de la Escuela de Posgrado de la Universidad Nacional Mayor de San Marcos, Lima, Año 5, No9, julio-diciembre de 2010, p. 55.
- **Mosquera, K.**, 2014: Ondas Kelvin oceánicas y un modelo oceánico simple para su diagnóstico y pronóstico, Boletín Técnico "Generación de modelos climáticos para el pronóstico de la ocurrencia del Fenómeno El Niño", Instituto Geofísico del Perú, Enero, 1, 1, 4-7
- **Reupo, J., y Takahashi, K.**, 2014: Validación de pronósticos con modelos globales: Correlaciones de TSM (1982-2010). Boletín Técnico "Generación de modelos climáticos para el pronóstico de la ocurrencia del Fenómeno El Niño", Instituto Geofísico del Perú, Enero, 1, 1, 8-9.
- **Sulca, J., Takahashi, K., Espinoza, J.C.**, Vuille, M. and Lavado-Casimiro, W., 2017: Impacts of different ENSO flavors and tropical Pacific convection variability (ITCZ, SPCZ) on austral summer rainfall in South America, with a focus on Peru. *Int. J. Climatol.* Doi:10.1002/joc.5185
- **Takahashi, K.**, 2017: Verificación de los pronósticos probabilísticos de El Niño y La Niña costeros. Boletín Técnico "Generación de modelos climáticos para el pronóstico de la ocurrencia del Fenómeno El Niño", Instituto Geofísico del Perú, 4 (8), 8-9.
- **Takahashi, K., Martínez, A. G.**, 2016: The very strong El Niño in 1925 in the far-eastern

- Pacific. Climate Dynamics, doi: 10.1007/s00382-017-3702-1.
- Thoma M, Greatbatch R, Kadow C, Gerdes R, 2015: Decadal hindcasts initialized using observed surface wind stress: Evaluation and prediction out to 2024. Geophys. Res. Lett. doi:10.1002/2015GL064833

Nota: Los Boletines Técnicos del IGP citados se pueden encontrar en:
<http://www.met.igp.gob.pe/elnino/>

Equipo

Kobi Mosquera, Dr. (responsable)
Jorge Reupo, Bach.

Agradecimientos

A la Dra. Emily Becker (NOAA) y al Dr. Ben Kirtman (RSMAS) por su apoyo con los datos del proyecto NMME, a la Dra. Michelle L'Heureux (NOAA CPC) por su apoyo con los datos de Niño 1+2 para el cálculo del ICEN.

Figuras

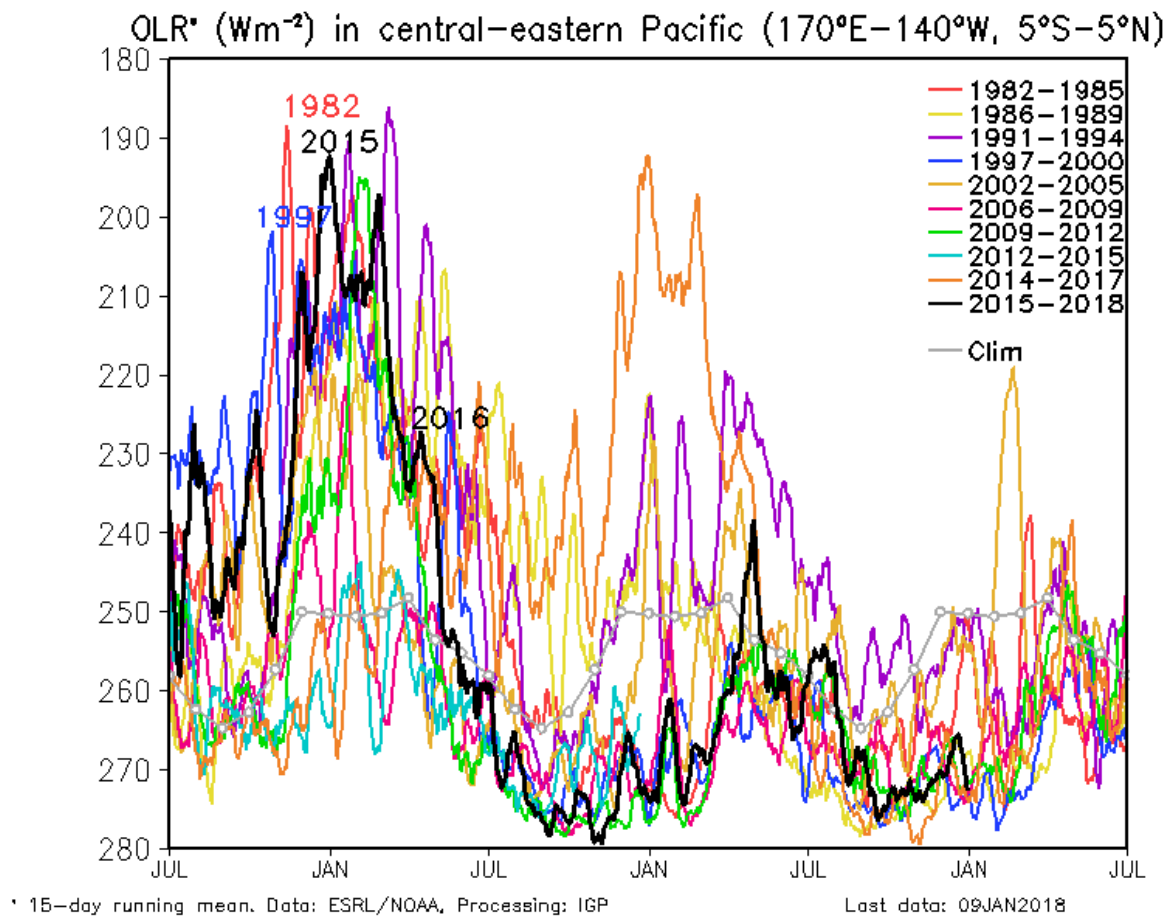


Figura 1. Actividad convectiva en el Pacífico Central Oriental (170°-140°W y 5°S-5°N) en base a la información de OLR (Outgoing Longwave Radiation). Elaboración: IGP

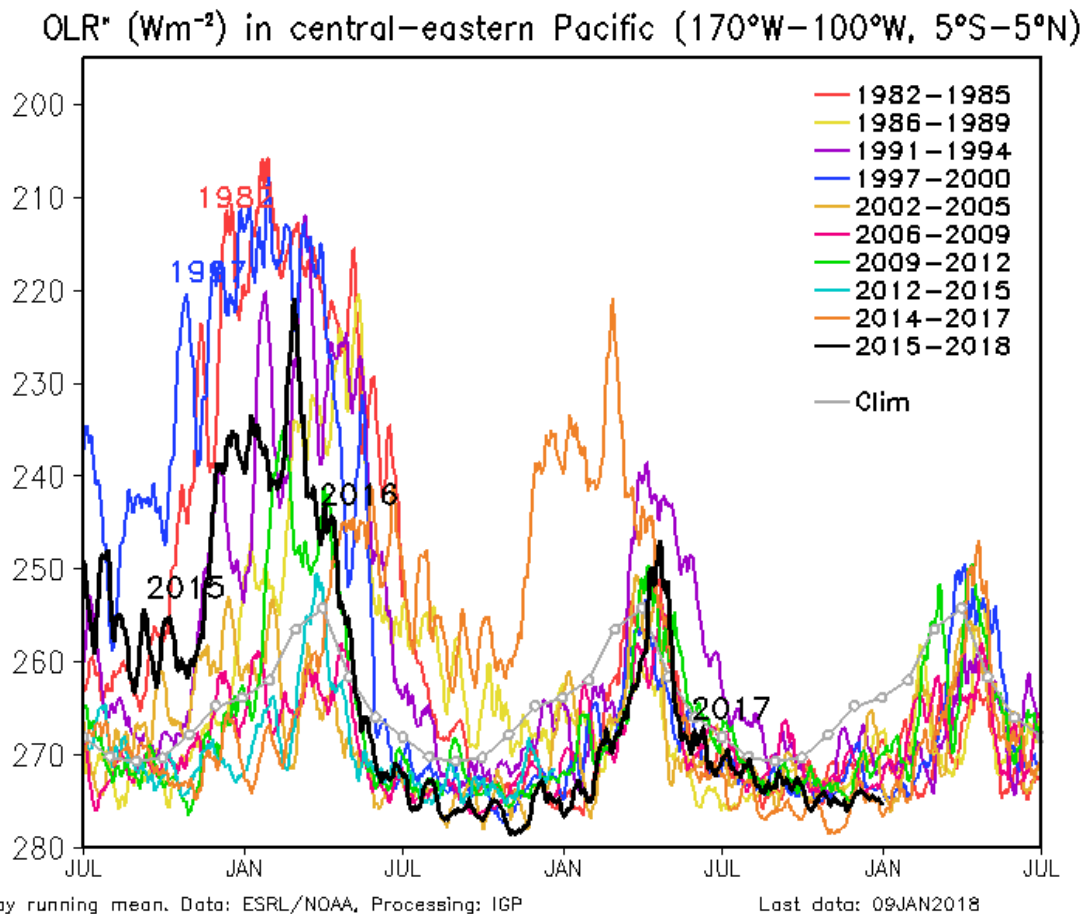


Figura 2. Actividad convectiva en el Pacífico Central Oriental ($170^{\circ}\text{W}-100^{\circ}\text{W}$ y $5^{\circ}\text{S}-5^{\circ}\text{N}$) en base a la información de OLR (Outgoing Longwave Radiation). Elaboración: IGP

Equatorial zonal wind stress anom (10^{-2} Nm^{-2}) ($160^{\circ}\text{E}-160^{\circ}\text{W}$, $5^{\circ}\text{S}-5^{\circ}\text{N}$)

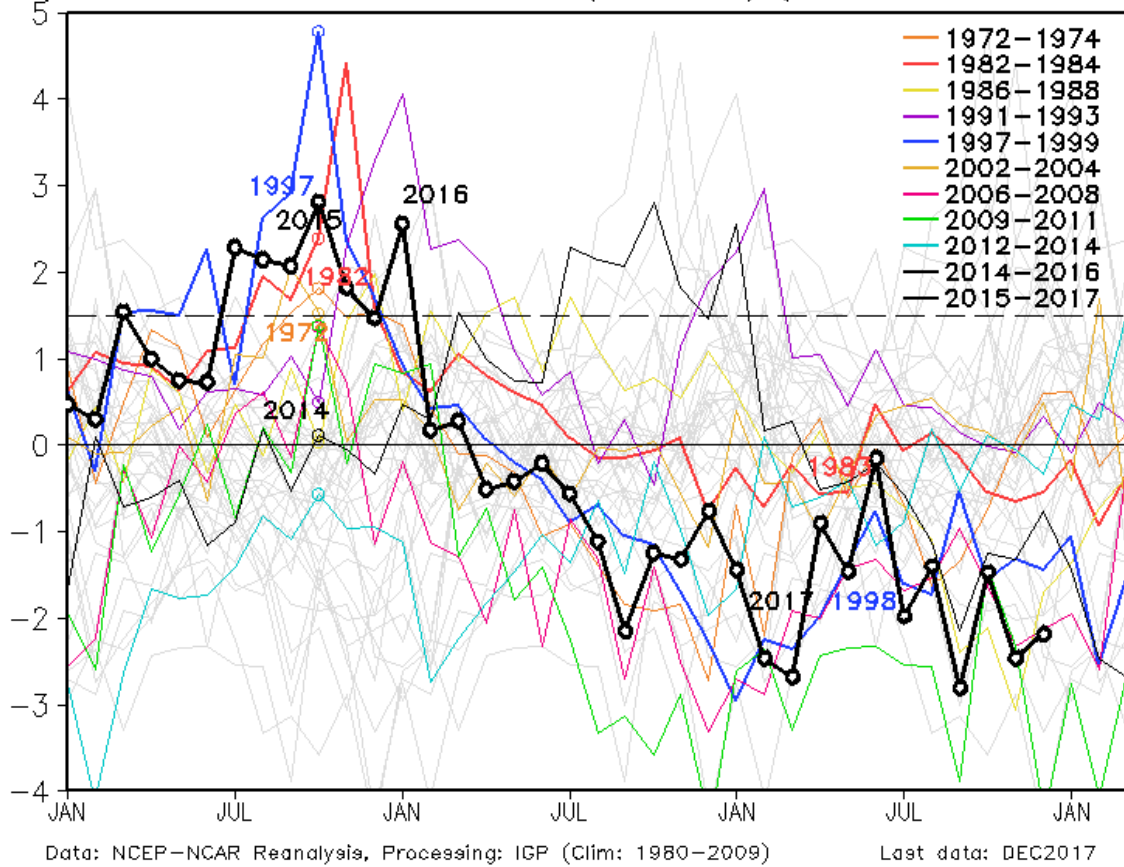


Figura 3. Promedio de la anomalía del esfuerzo de viento zonal en el Pacífico Ecuatorial ($160^{\circ}\text{E}-160^{\circ}\text{W}$ y $5^{\circ}\text{S}-5^{\circ}\text{N}$) obtenido de los datos del reanálisis de NCEP-NCAR. Elaboración: IGP

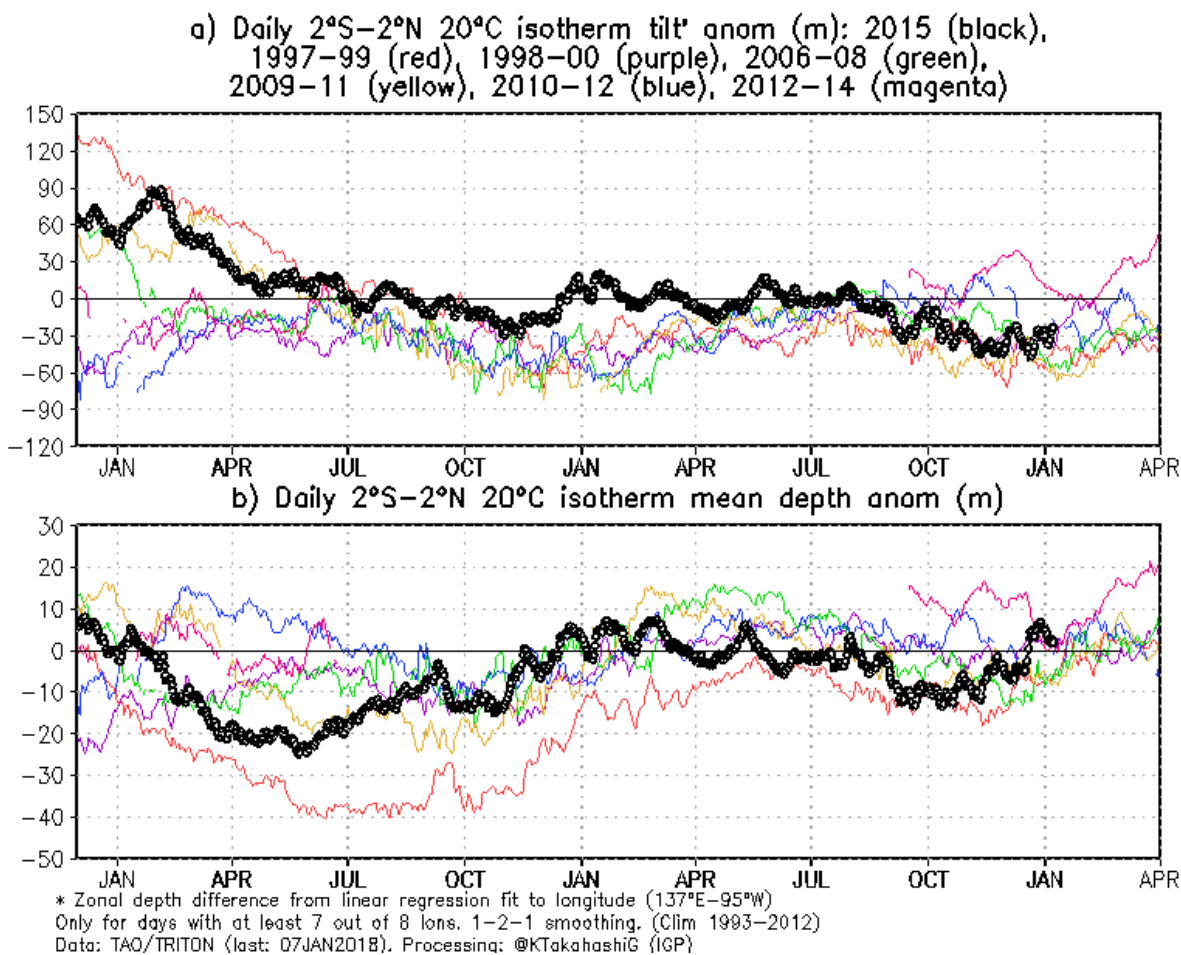


Figura 4 a) Inclinación de la termoclina en el Pacífico ecuatorial basado en los datos de las boyas TAO entre 2°N y 2°S. **b)** Contenido de calor en la región ecuatorial basado en los datos de las boyas TAO entre 2°N y 2°S. A diferencia de informes anteriores, se excluyen las boyas TRITON (Pacífico occidental) que ya no está operativas. Elaboración: IGP

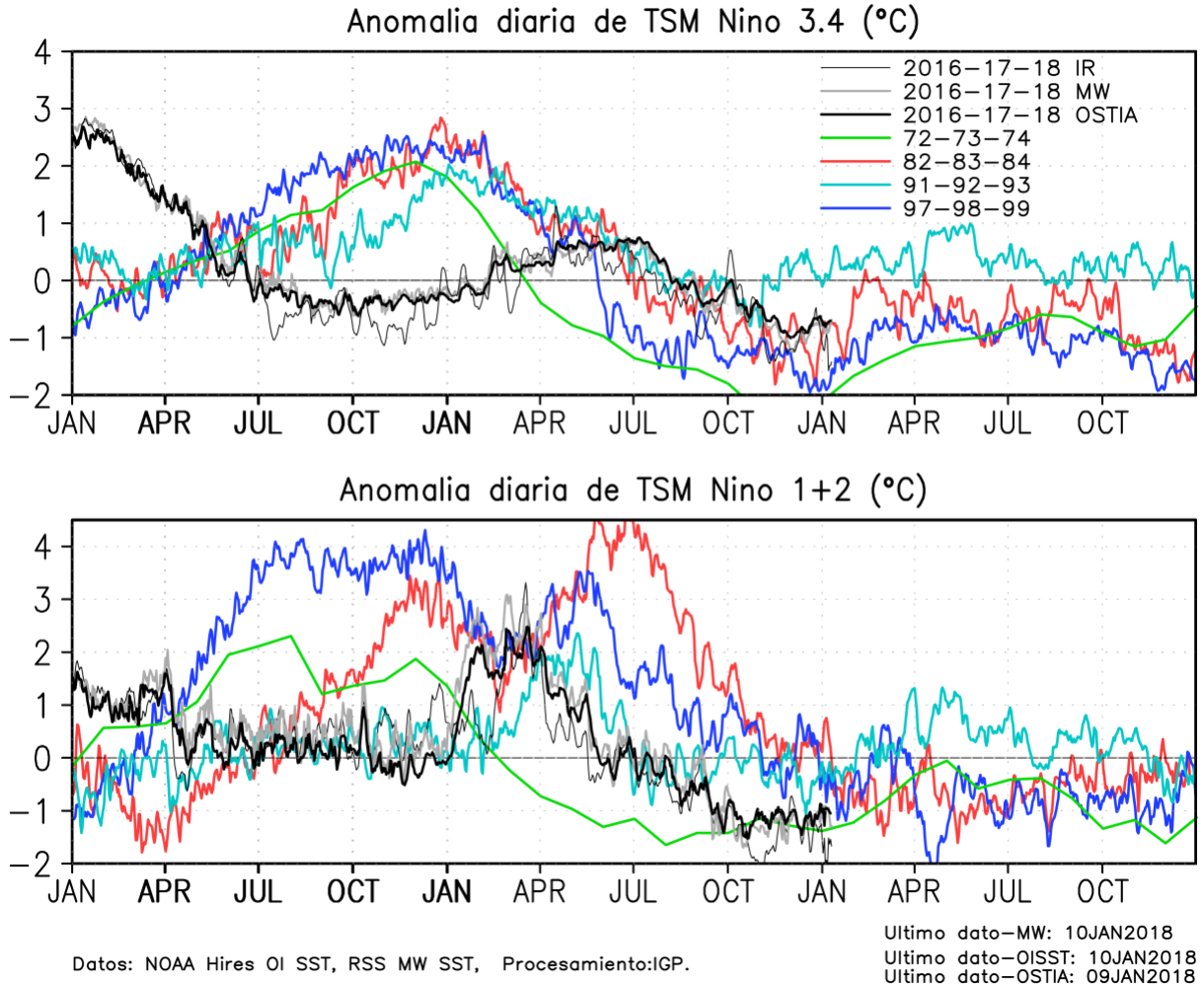


Figura .5 Series de tiempo de la anomalía diaria de la TSM en la región Niño 3.4 (arriba) y en la región Niño 1+2 (abajo). Las líneas en color negro (gruesa), gris y negro (fina) indican la evolución de la anomalía de la TSM en el presente año usando información infrarroja (IR), microondas (MW) y del producto OSTIA, respectivamente. Las líneas de color rojo, azul, celeste y verde, indican la evolución de la anomalía de la TSM para los años de Niña costera 1985, 2007, 2010 y 1988. Elaboración: IGP

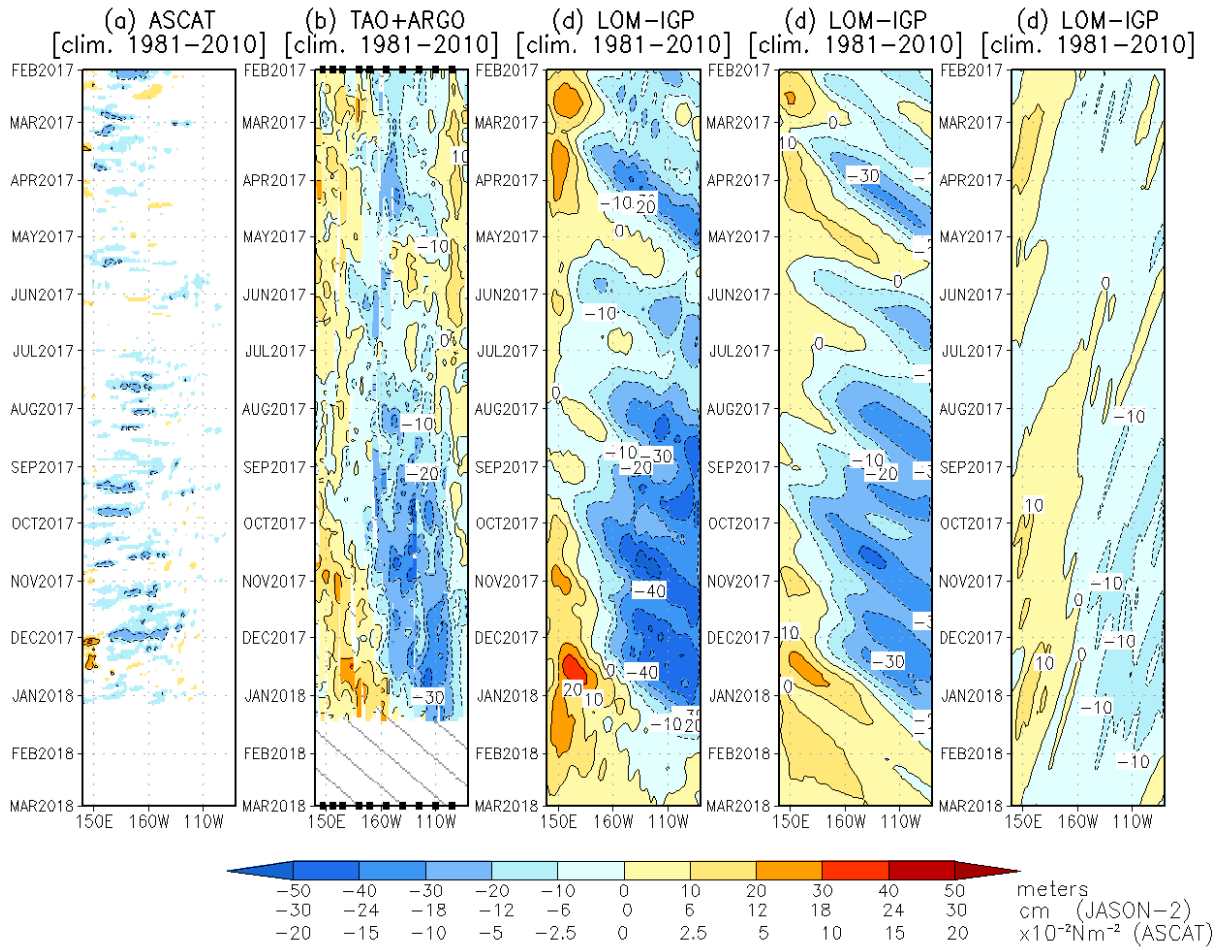


Figura 6. Diagrama longitud-tiempo de las anomalías de esfuerzo de viento zonal ecuatorial basado en datos del escaterómetro ASCAT (a), anomalía de la profundidad de la isoterma de 20°C datos de TAO y los derivados de ARGO (b), diagrama de la onda Kelvin y Rossby (c), diagrama de la onda Kelvin (d) y finalmente diagrama de la onda Rossby, calculada con el modelo LOM-IGP (forzado por ASCAT, y $\tau=0$ para el pronóstico). Las líneas diagonales representan la trayectoria de una onda Kelvin si tuviera una velocidad de 2.6 m/s. (Elaboración: IGP)

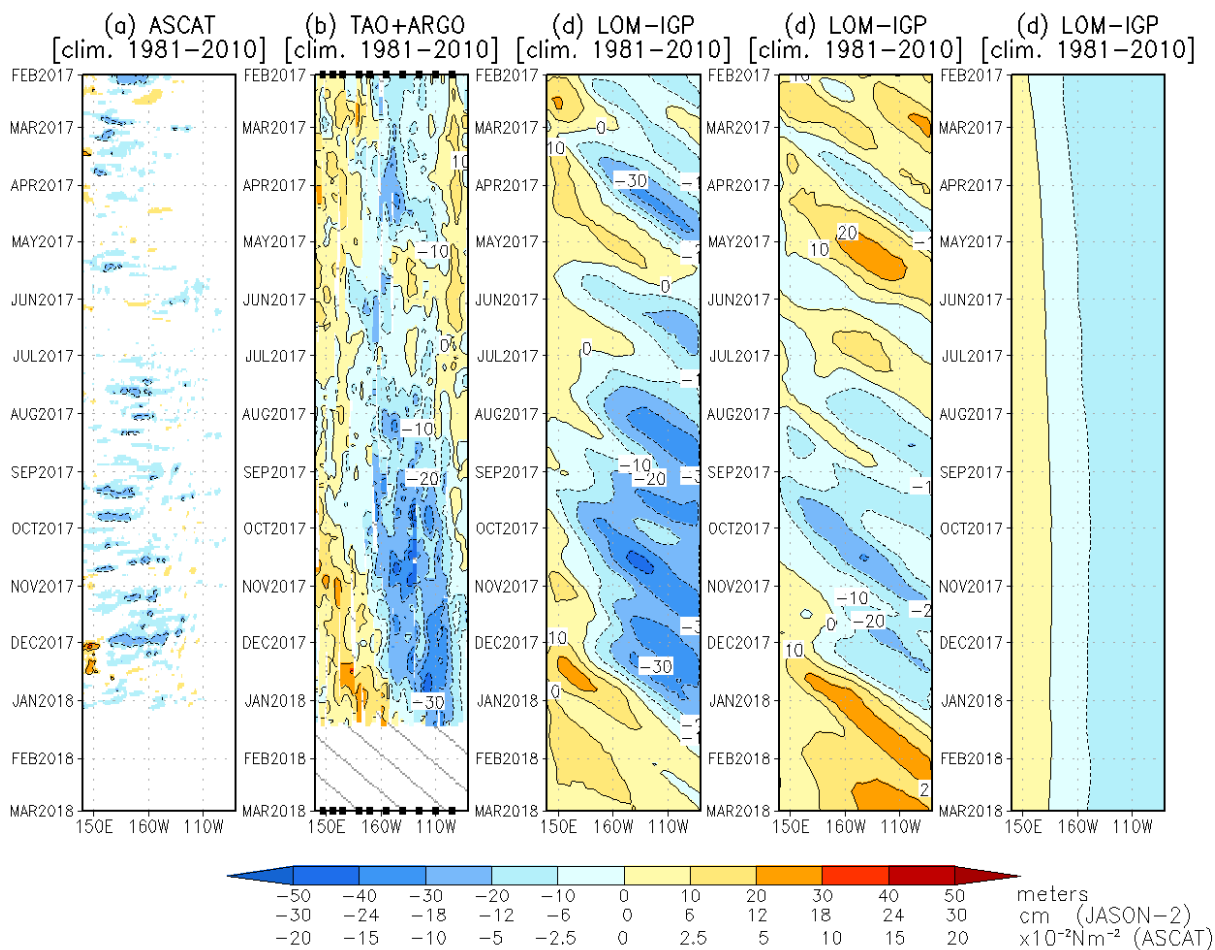


Figura 7. De izquierda a derecha: diagrama longitud-tiempo de las anomalías de esfuerzo de viento zonal ecuatorial basado en datos del escaterómetro ASCAT (primer panel); anomalía de la profundidad de la isoterma de 20°C de TAO y los derivados de ARGO (segundo panel); onda Kelvin (tercer panel), onda Kelvin intraestacional (cuarto panel), Onda Kelvin interanual multiplicado por un factor de dos (quinto panel). Las tres figuras de la derecha son resultados numéricos de un modelo oceánico lineal, forzado con información de vientos de ASCAT. Las líneas diagonales representan la trayectoria que tendría la onda Kelvin si tuviera una velocidad de 2.6 m/s. (Elaboración: IGP)

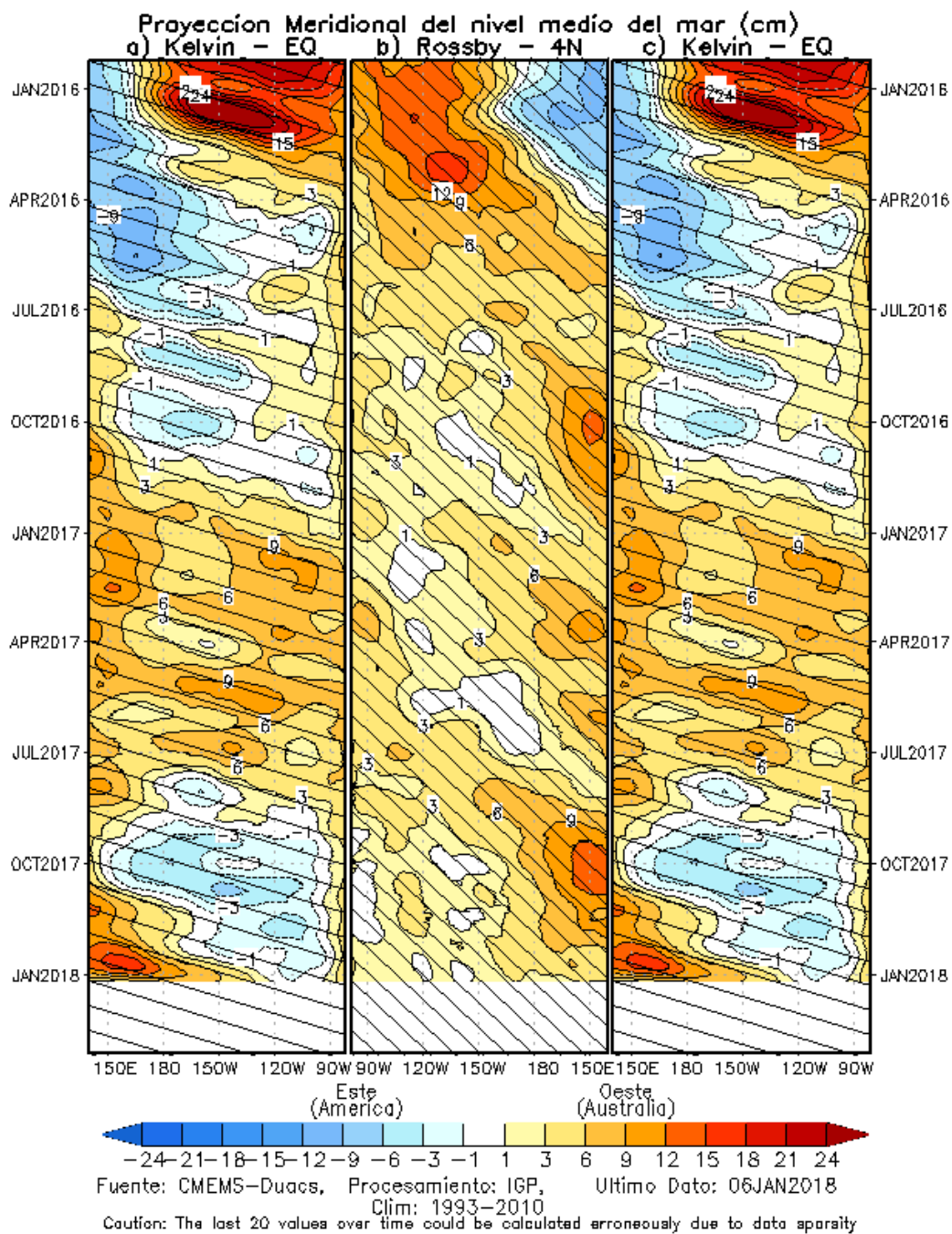


Figura 8. Proyección meridional del nivel medio del mar (cm), a) onda Kelvin en el Ecuador, b) onda Rossby en 4°N, y c) onda Kelvin en el ecuador.

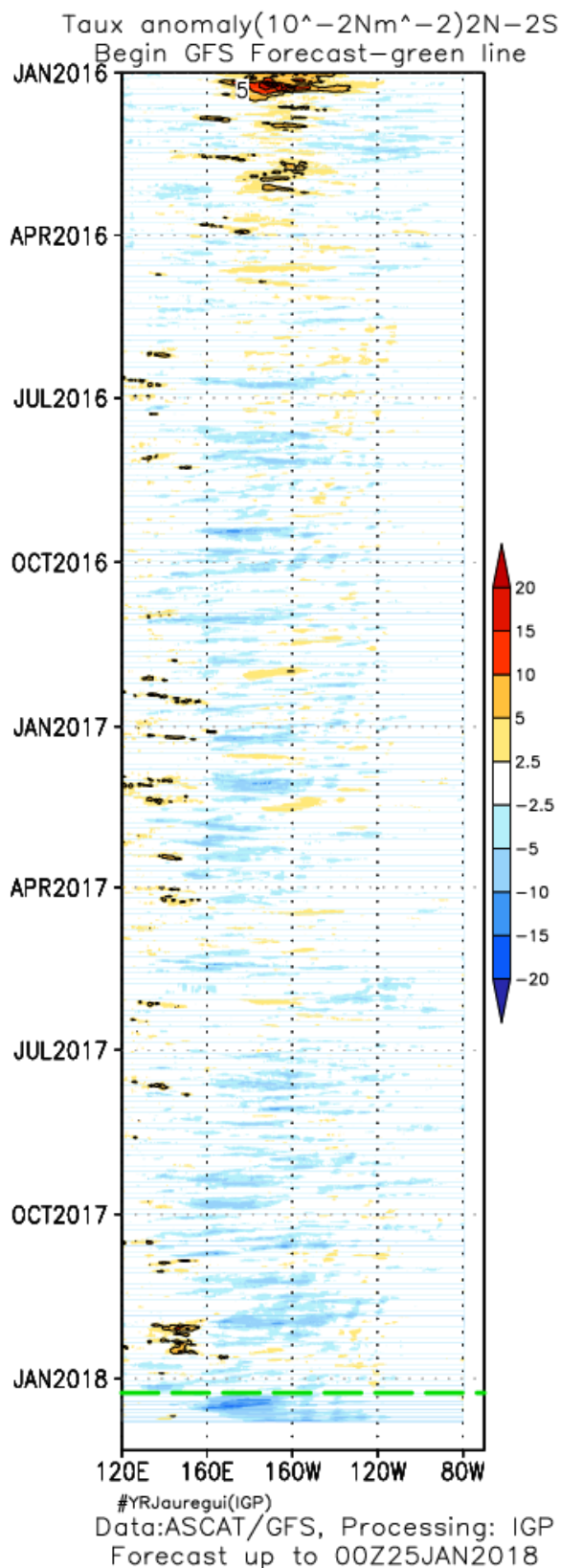


Figura 9: Pronóstico de vientos del modelo GFS en el Pacifico ecuatorial ($2^{\circ}N-2^{\circ}S$), hasta el 25 de enero 2018.

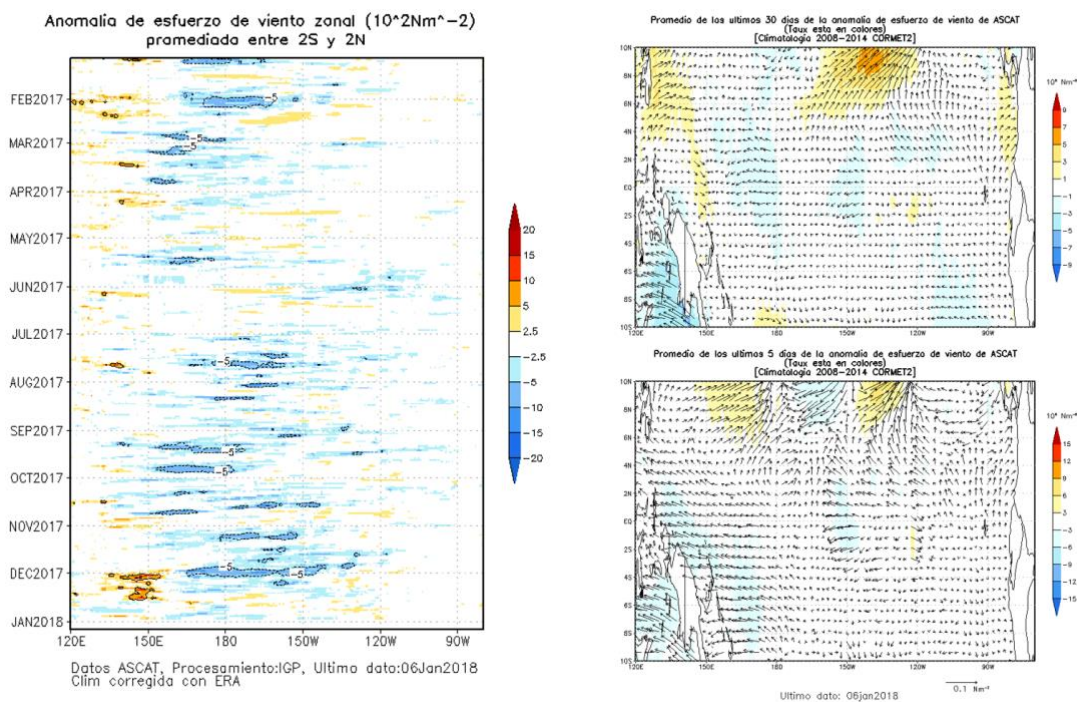


Figura 10. Izquierda: Diagrama longitud-tiempo de las anomalías de esfuerzo de viento zonal ecuatorial basado en datos del escaterómetro ASCAT. Derecha (superior): Mapa del promedio de 30 días. Derecha (inferior): Mapa del promedio de 5 días, hasta el 06 de enero de 2018, incluyendo los vectores de esfuerzo zonal. (Elaboración: IGP)

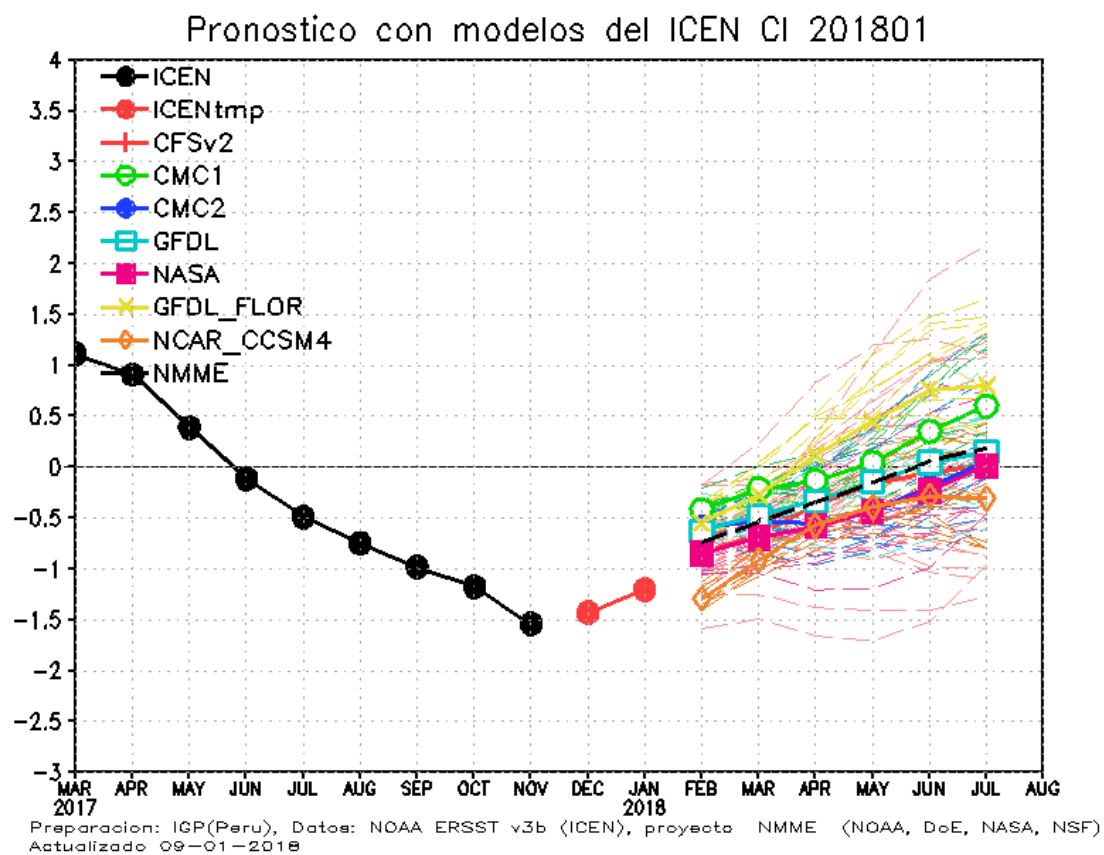
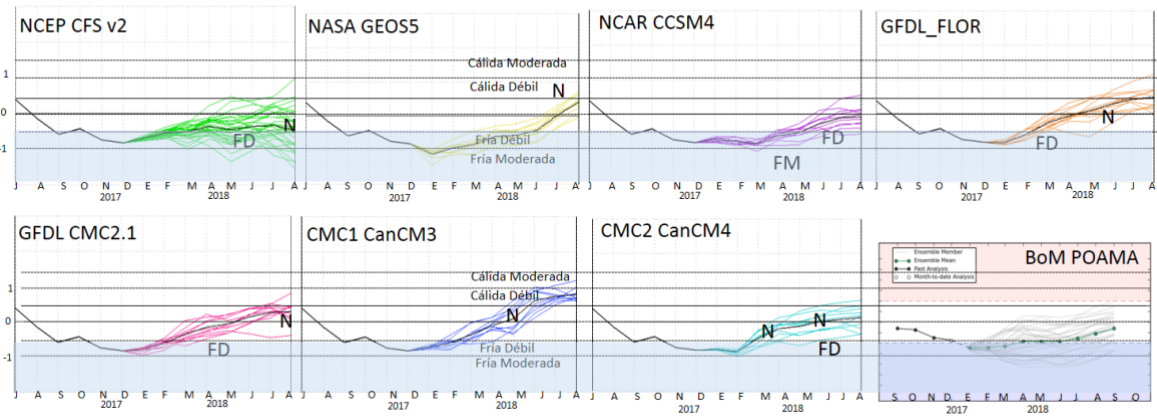


Figura 11. Índice Costero El Niño (ICEN, negro con círculos llenos) y su valor temporal (ICENtmp, rojo con círculo lleno). Además, pronósticos numéricos del ICEN (media móvil de 3 meses de las anomalías pronosticadas de TSM en Niño 1+2) por diferentes modelos climáticos. Los pronósticos de los modelos CFSv2, CMC1, CMC2, GFDL, NASA, GFDL_FLOR y NCAR_CCISM4 tienen como condición inicial el mes de enero de 2018. (Fuente: IGP, NOAA, proyecto NMME).

Condiciones Iniciales de Enero 2018



Condiciones Iniciales de Diciembre 2017

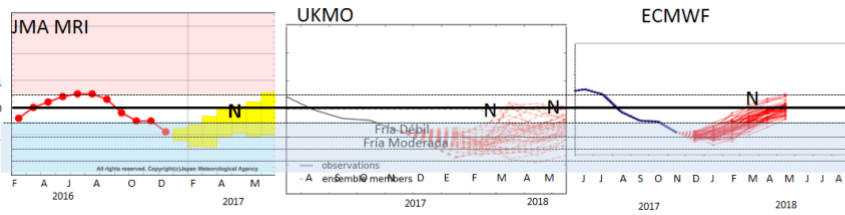


Figura 12. Índice Niño 3.4 mensual observado y pronosticado por los modelos de NMME y otros.

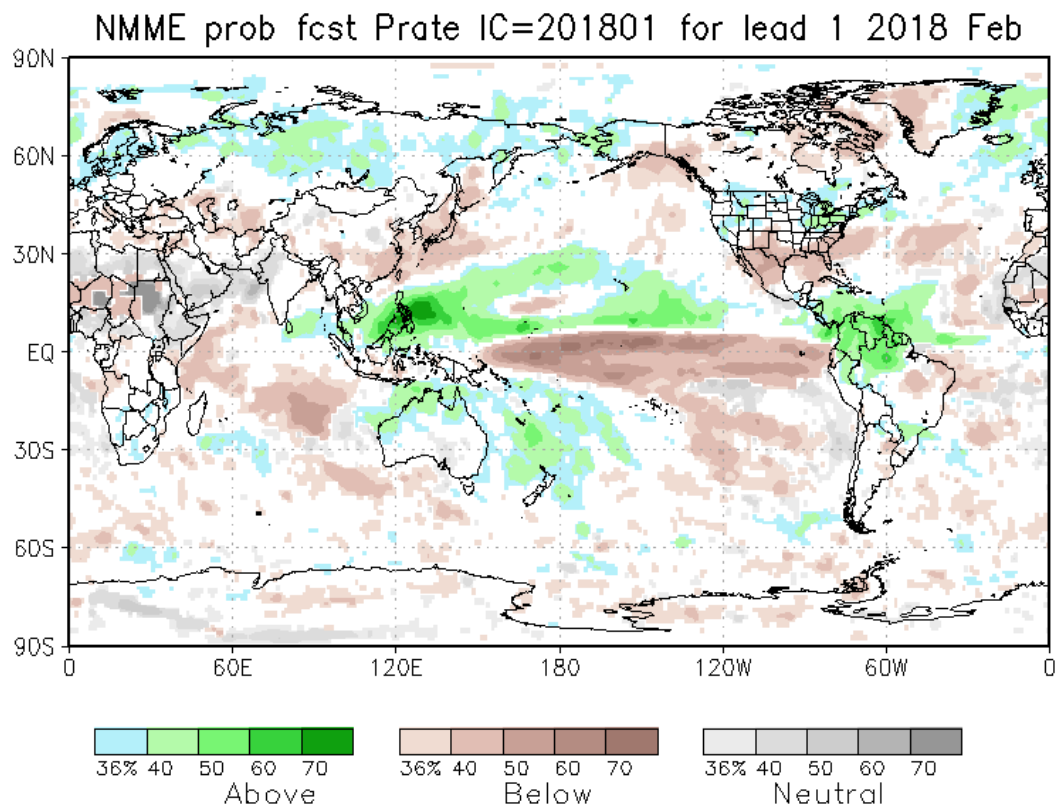


Figura 13. Pronósticos probabilísticos de precipitación (calibrados) para febrero 2018 por modelos de NMME inicializados en enero 2018. (Fuente: NOAA).

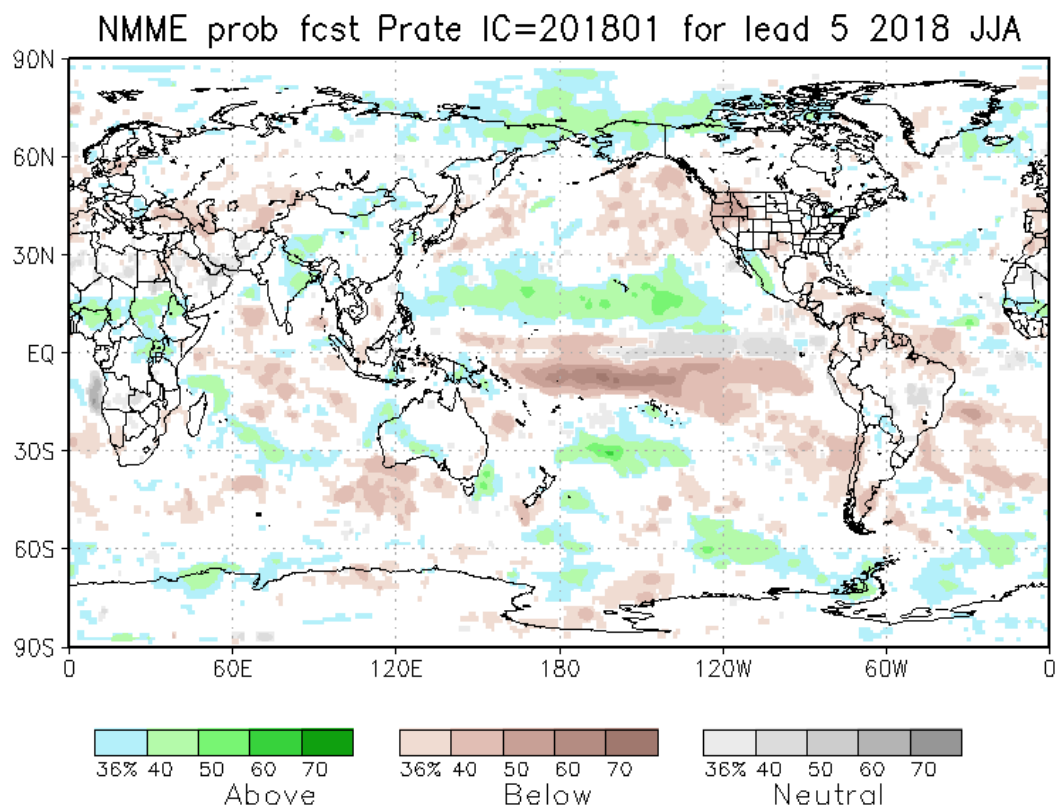


Figura 14. Similar a la Fig. 13 pero para el trimestre juniol-agosto 2018 (Fuente: NOAA).

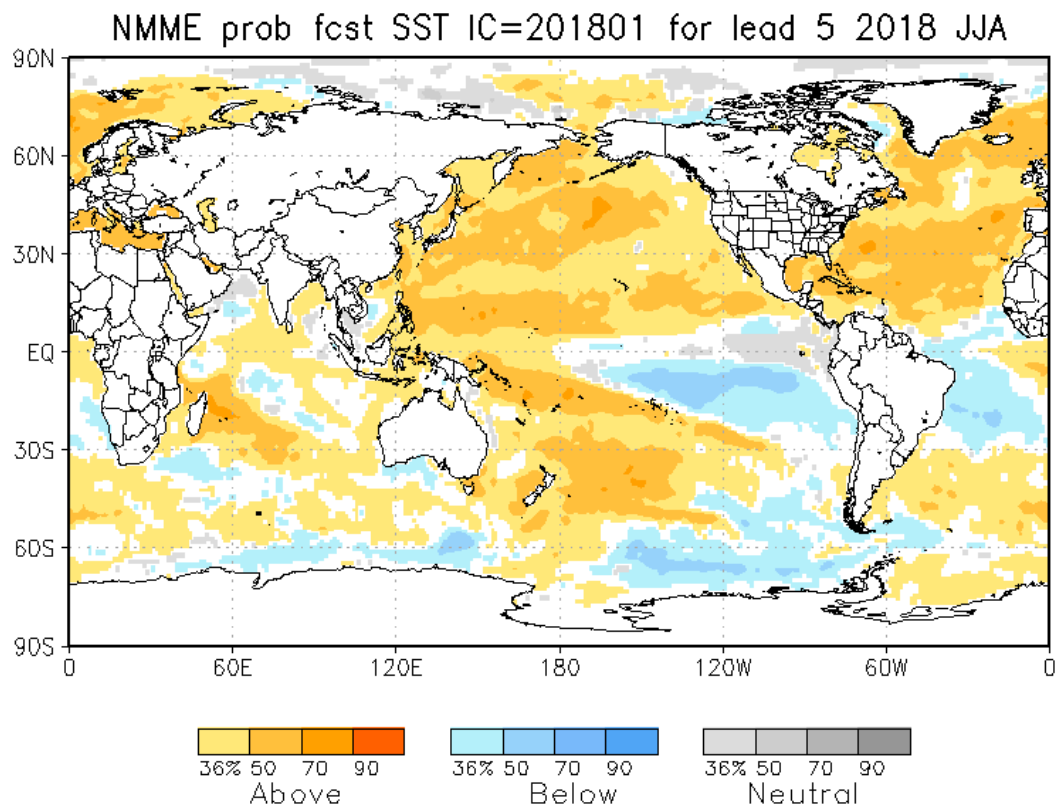


Figura 15. Pronósticos probabilísticos de temperatura superficial del mar (calibrados) para el trimestre junio-agosto 2018 por modelos de NMME inicializados en enero 2018. (Fuente: NOAA).

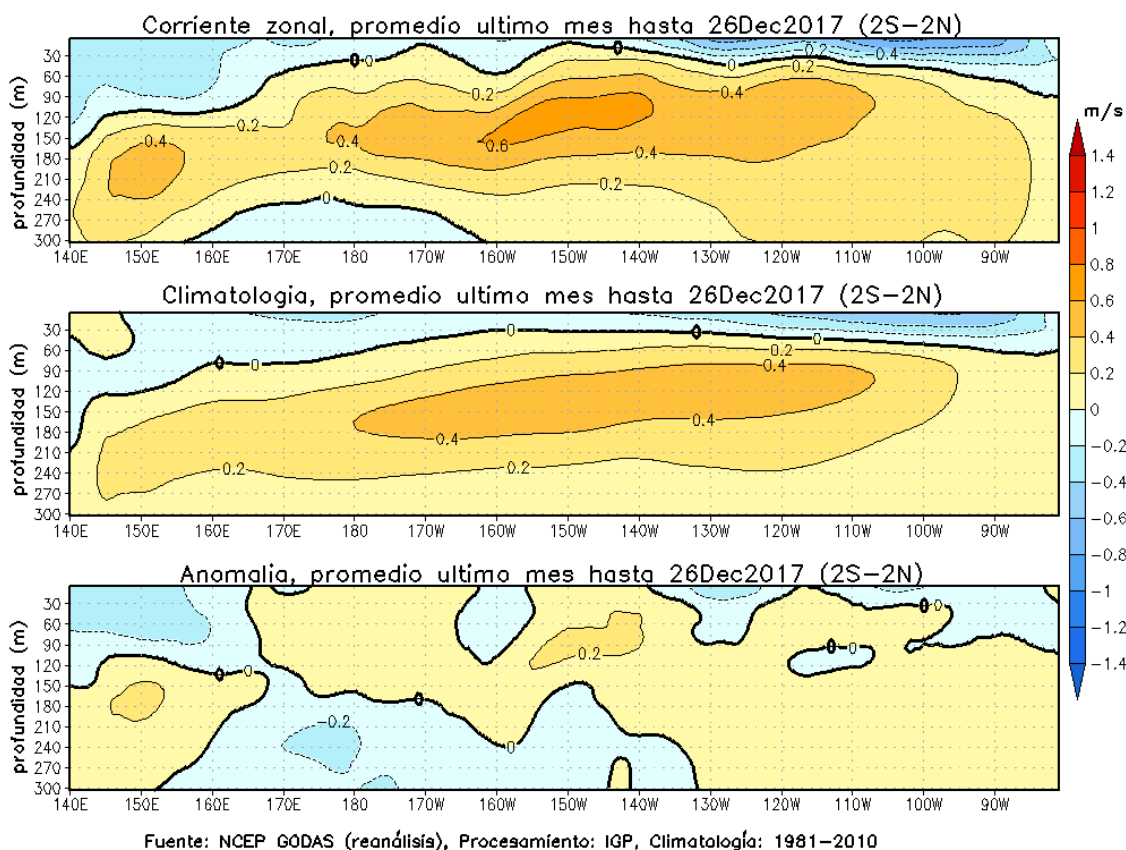
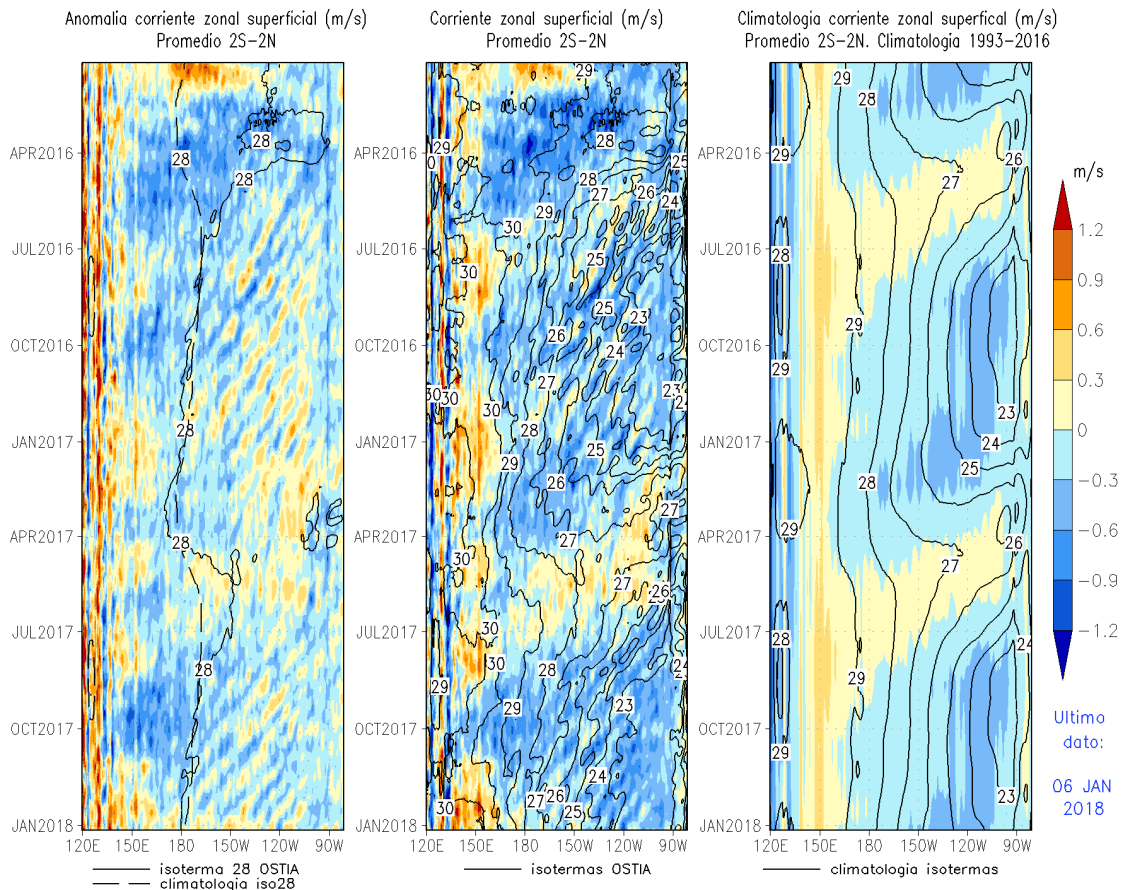


Figura 16. Promedio de los últimos 30 días de las corrientes zonales obtenidas del *reanalysis* GODAS (*Global Ocean Data Assimilation System*: <http://www.cpc.ncep.noaa.gov/products/GODAS/>) a lo largo de la franja ecuatorial. Arriba se muestra el total; al medio, la climatología; y abajo la anomalía.

Datos OSCAR + Isoterma28



Datos corriente sup.: OSCAR, superficie de referencia: 15m de profundidad, PROCESAMIENTO: IGP

Figura 17. Diagramas longitud versus tiempo de las corrientes zonales a lo largo de la franja ecuatorial (2°S-2°N) obtenido del producto OSCAR (*Ocean Surface Current Analyses Real-time*: http://www.esr.org/oscar_index.html). De izquierda a derecha se gráfica: la anomalía, el total y la climatología de las corrientes zonales.